

بررسی اثر غلظت زیست پلیمرهای سدیم کازئینات و صمغ زانتان بر قابلیت تولید اولوژل بر اساس سیستم امولسیون روغن در آب

مریم مرادعباسی^۱، سید امیرحسین گلی^{۲*}، گلی فیاض^۳

۱- دانشجوی کارشناسی ارشد علوم و مهندسی صنایع غذایی، گروه علوم و مهندسی صنایع غذایی، دانشکده کشاورزی، دانشگاه صنعتی اصفهان، اصفهان، ایران.

۲- دانشیار، گروه علوم و مهندسی صنایع غذایی، دانشکده کشاورزی، دانشگاه صنعتی اصفهان، اصفهان، ایران.

۳- فارغ التحصیل مقطع دکتری، گروه علوم و مهندسی صنایع غذایی، دانشکده کشاورزی، دانشگاه صنعتی اصفهان، اصفهان، ایران.

(تاریخ دریافت: ۹۸/۱۲/۱۹ تاریخ پذیرش: ۹۹/۰۶/۰۱)

چکیده

محققین صنعت غذا به منظور کاهش اثربار نامطلوب مصرف چربی اشباع، هیدروژنه و ترانس به دنبال جایگزین‌هایی مناسب برای چربی جامد می-باشندکه از جمله آن‌ها به کارگیری سیستم جدید "اولوژل" است. از روش‌های تولید اولوژل می‌توان به روش تهیه امولسیون اشاره کرد. بنابراین، هدف از این مطالعه تهیه اولوژل به روش تولید امولسیون با استفاده از زیست‌پلیمرهای سدیم کازئینات (امولسیفایر) و صمغ زانتان (تغلیط کننده) است. برای بررسی امکان تولید اولوژل به این روش، ابتدا امولسیون‌هایی با نسبت‌های متفاوت از دو زیست‌پلیمر سدیم کازئینات (۲٪ و ۴٪) و صمغ زانتان (۲٪ و ۴٪) به همراه روغن گیاهی (۶۰٪ وزنی/وزنی) تهیه و سپس اندازه ذرات، پتانسیل زتا، تصاویر میکروسکوپی و خواص رئولوژیک (ویسکوزیته، مدول اتلافی و ذخیره) امولسیون‌ها مطالعه شد. بر اساس نتایج حاصل، افزایش غلظت سدیم کازئینات باعث کاهش اندازه قطرات روغن شد اما اثر غلظت زانتان بر این پارامتر معنادار نبود به طوریکه اندازه قطرات در نمونه CX44 به ۱۳/۷۵ میکرون کاهش یافت. (P<0.05). نتایج حاصل از آزمون رئولوژیکی بیشتر بودن مدول ذخیره را نسبت به مدول اتلافی نشان داد که بیانگر تشکیل ژل قوی برای تولید اولوژلی با بافت مطلوب می‌باشد. در ادامه با استفاده از خشک کن انجامدادی، اولوژل تهیه شد. نتایج حاصل از بررسی سفتی بافت نمونه‌های خشک شده و نشت روغن در اولوژل‌های مربوطه اثر غلظت دو زیست‌پلیمر را معنادار نشان داد و با افزایش غلظت، سفتی بافت افزایش و نشت روغن کاهش یافت؛ به طوریکه در نمونه حاوی بیشترین غلظت از دو زیست‌پلیمر (CX44)، سفتی بافت به ۱۸/۲۲ نیوتون و نشت روغن به ۱۶۲٪. بنابراین، روش تهیه امولسیون راهکاری مناسب برای تولید اولوژلی با ویژگی‌های مطلوب جهت جایگزینی در محصولاتی با چربی اشباع و ترانس بالا به شمار می‌آید که می‌تواند ضامن سلامتی افراد جامعه باشد.

کلید واژگان: اولوژل، امولسیفایر، تغلیط کننده، خشک کن انجامدادی، رئولوژی.

* مسئول مکاتبات: amirgoli@cc.iut.ac.ir

محلول در آب به دام می‌افتد که طی دو مرحله‌ی ساده صورت می‌گیرد: ۱) فرموله کردن امولسیون روغن در آب که با یک زیست‌پلیمر نظیر پروتئین یا پلی‌ساکارید پایدار می‌شود و در ادامه ۲) خارج کردن کامل فاز آبی (خشک کردن یا با دمای بالا و یا با دمای پایین) که نتیجه آن تولید ژل روغنی است که حاوی میزان زیادی روغن مایع است (بیش از ۹۷ درصد وزنی) [۱۷]. امولسیون توسط زیست‌پلیمرهای فعال سطحی (مانند پروتئین‌ها) تشکیل شده و با زیست‌پلیمرهای غیر فعال سطحی (مانند پلی‌ساکاریدها) پایدار می‌شود. عامل فعال سطحی با کاهش کشش سطحی در سطح قطرات روغن، از بروز ناپایداری الحاق و خامه‌ای شدن جلوگیری می‌کند در حالی که عامل پایدار کننده با افزایش ویسکوزیته محیط سبب محدودیت حرکت قطرات روغن شده که همانند ترکیب فعال سطحی از الحاق قطرات جلوگیری کرده و به پایداری امولسیون کمک می‌کند [۱۳].

بررسی خصوصیات امولسیون تولیدی بر پایه‌ی زیست‌پلیمر، از جمله مراحل مهم در تولید اولوژل به این روش می‌باشد به طوریکه نتایج حاصل از ویژگی‌های امولسیون می‌تواند به پیش‌بینی قابلیت تولید یا عدم تولید اولوژل پردازد. از این رو پاتل و همکاران (۲۰۱۴) به منظور تولید اولوژل از HPMC^۱ و MC^۲ (به عنوان ترکیبات فعال سطحی) با ویسکوزیته متفاوت به همراه صمغ زانتان، امولسیون تهیه کردند. آنها بیان کردند که هرچه ویسکوزیته امولسیفایر کمتر بود، اندازه‌ی قطرات کوچک‌تر شد چراکه امولسیفایر با ویسکوزیته کمتر، بهتر هیدراته شده و باعث تشکیل امولسیون پایدارتر می‌شود و در ادامه می‌تواند در تهیه اولوژلی پایدار موثر باشد [۱۴]. از طرفی در مطالعه‌ی جیانگ و همکاران (۲۰۱۸)، بررسی اثر غلظت سلولز بازسازی شده^۳ به عنوان امولسیفایر بر خصوصیات رئولوژیکی امولسیون نشان داد که افزایش غلظت امولسیفایر با افزایش قدرت ژل و مدول ذخیره امولسیون رابطه مستقیمی دارد که می‌تواند سبب تولید اولوژلی با

۱- مقدمه

با توجه به اثرات سوء اسیدهای چرب اشباع و ترانس بر سلامت مصرف کننده و تاکید کاهش این نوع چربی‌ها در رژیم غذایی، محققان در سال‌های اخیر به دنبال روش‌هایی برای تولید چربی‌های جامد بدون ترانس با ویژگی‌های مطلوب هستند؛ از جمله این روش‌ها می‌توان به راهکار جدید با عنوان اولوژل اشاره کرد. اولوژل، سیستم نیمه جامدی می‌باشد که از به دام افتادن روغن‌های مایع گیاهی (با اشباعیت کمتر و بدون ترانس) در یک شبکه ساختار یافته (نظیر زیست‌پلیمرها) حاصل شده و نهایتاً ساختار ژل مانندی تشکیل می‌دهند که علاوه بر عدم وجود ترانس و اشباعیت کمتر، خصوصیات رئولوژیکی، ویسکوالاستیستی، قابلیت پخش پذیری، سفتی و سایر خصوصیات مطلوب مشابهی با چربی جامد ایجاد می‌کند. روش رایج تهیه اولوژل حل کردن مستقیم اولوژلاتور (ترکیبات تشکیل دهنده‌ی ژل) در روغن است، به عبارت دیگر اولوژلاتورهای کاربردی باید قابلیت حل شدن در روغن را داشته باشند [۴]. در این روش اولوژلاتور با روغن مخلوط شده، سپس مخلوط حاصله تا دمای ذوب اولوژلاتور مورد استفاده حرارت دیده تا کاملاً در روغن ذوب و پخش شود و مخلوط شفافی به دست آید. بعد از حل شدن کامل اولوژلاتور، مخلوط تا دمای اتاق خنک شده و اولوژل شکل می‌گیرد. [۱۵و۱۶]. با این حال تهیه اولوژل به روش مستقیم، نیازمند درجه حرارت بالا است (با توجه به اولوژلاتور کاربردی حرارت دهی متفاوت است) که باعث اکسیداسیون، و ازبین رفتن یا کاهش مواد مغذی موجود در روغن می‌شود؛ به همین علت محققان به دنبال روش‌هایی هستند تا مرحله‌ی حرارت دهی حذف و کیفیت روغن حفظ شود تا بتوان از این روغن ژل شده بدون محدودیت در مواد غذایی مختلف استفاده کرد [۱۴]. از این رو روش-های دیگر تولید اولوژل با استفاده از زیست‌پلیمرها معروفی شده اند که می‌توان به روش تهیه امولسیون اشاره کرد. اساس تولید اولوژل در این روش بر پایه‌ی تهیه امولسیون روغن در آب است، به این صورت که روغن مایع هیدروفوب در ماتریکسی از زیست‌پلیمرهای

1. Hydroxypropyl methyl cellulose

2. Methyl cellulose

3. Regenerated cellulose

مختلف از زیست پلیمرهای ذکر شده مطابق جدول ۱ تهیه شد. محلولهای سدیم کازئینات ۲ و ۴ درصد وزنی - وزنی به روش پاتل و همکاران (۲۰۱۴) تهیه شد [۱۴]. مطابق با جدول ۱ به ترتیب مقادیر ۲ و ۴ گرم از پودر سدیم کازئینات توزین و مقداری آب دیونیزه به آنها اضافه شد. سپس به مدت ۳۰ دقیقه در دمای اتاق (۲۵ درجه سلسیوس) با کمک همزن مغناطیسی (آیکا^۱ مدل digital T25، آلمان) پودر پروتئینی کاملا حل شد تا محلول یک دست سفید رنگی به دست آید. سپس ۶۰ گرم روغن کانولا به صورت قطره قطره تحت همزدن مداوم در ۱۳۰۰۰ دور بر دقیقه با استفاده از هموژنائزر (آیکا مدل digital T25، آلمان) به محلولهای سدیم کازئینات افزوده شده تا امولسیون تشکیل شود. به منظور پایداری امولسیون‌های تولیدی، ابتدا مقدار مشخصی از صمغ زانتان مطابق با جدول ۱ توزین و به آرامی به ظرف حاوی آب دیونیزه اضافه شد و سپس با کمک همزن مغناطیسی در دمای اتاق کاملا حل و هیدراته شد و بالاصله بعد از تشکیل امولسیون تحت همزدن مداوم به آن اضافه شد [۱۰].

Table 1 Sodium caseinate and xanthan gum concentration used to prepare the emulsions.

Samples	Sodium Caseinate (wt%)	Xanthan Gum (wt%)
C2	2	-
CX22	2	0.2
CX24	2	0.4
C4	4	-
CX42	4	0.2
CX44	4	0.4

۱-۲-۲- ریزساختار

ریزساختار امولسیون با استفاده از میکروسکوپ نوری (نیکون اکلیپس^۲ مدل E600 ، ژاپن) در دمای اتاق بررسی شد. بالاصله پس از تهیه امولسیون‌ها، نمونه‌ها روی یک لام میکروسکوپی به صورت یک لایه بسیار نازک پخش شده و توسط لامل شیشه ای پوشانده شدند. سپس، تصاویر میکروسکوپی با بزرگنمایی ۴۰× مشاهده و توسط دوربین دیجیتال ضبط شد [۶].

1. IKA
2. Dropwise
3. Nikon Eclipse

قدرت ژل مطلوب شود. آنها در ادامه از خشک کن انجامدی در مرحله‌ی خشک کردن استفاده کردند و مشاهده کردند که اولنوژل تولیدی نه تنها خصوصیات شبه جامد نشان داد بلکه بیش از ۹۷ درصد توانایی نگهداری روغن را داشت [۶]. منگ و همکاران (۲۰۱۸) در بررسی اثر تغليظ کننده‌های متنوع (نظیر زانتان، صمغ گوار و ...) بر پایداری امولسیون‌های تولید شده با HPMC مشاهده کردند که تمامی امولسیون‌ها نسبت به جدایی فاز پایدار بوده اما امولسیون‌های حاوی سدیم آژینات، کربوکسی متیل سلولز و صمغ دانه‌ی کتان رفتار مایع را با بیشتر بودن مadol اتلافی نسبت به مadol ذخیره نشان دادند که تاکیدی بر عدم تولید اولنوژل مطلوب با استفاده از این سه تغليظ کننده بود [۹].

با توجه به روش آسان و غیر حرارتی تولید امولسیون، در این تحقیق تلاش می‌شود تا از زیست‌پلیمرهایی که قابلیت تولید و پایداری امولسیون را دارند استفاده شود. از آنجایی که سدیم کازئینات و صمغ زانتان منشاء طبیعی دارند و به ترتیب دارای خاصیت فعالیت سطحی و تغليظ کننگی هستند، سعی بر آن است که این دو زیست پلیمر برای تشکیل و پایداری امولسیون استفاده شود و اثر غلظت‌های مختلف آنها بر ویژگی‌های امولسیون شامل تصاویر میکروسکوپی، اندازه قطرات روغن، پتانسیل زتا و خصوصیات رئولوژیکی به منظور تعیین قابلیت تشکیل یا عدم قابلیت تشکیل اولنوژل بررسی شود. در ادامه طی فرآیند خشک شدن امولسیون‌ها با استفاده از خشک کن انجامدی، اولنوژل تولید و اثر غلظت زیست پلیمرها بر سفتی محصول خشک و نشت روغن بررسی شود.

۲- مواد و روش‌ها

۱-۲- مواد

پودر سدیم کازئینات از شرکت بهتام پودر (کرج، ایران) و صمغ زانتان از شرکت آویژه فر جود پارسی (تهران، ایران) تهیه شد. روغن تصفیه شده کانولا (بهشهر، ایران) از بازار محلی تهیه شد.

۲-۲- تهیه امولسیون و تعیین خصوصیات آن

در این بخش به منظور ارزیابی اثر غلظت سدیم کازئینات و صمغ زانتان بر خصوصیات امولسیون ۶ نوع تیمار با درصدهای

فرکانس زاویه‌ای ۱ رادیان بر ثانیه انجام شد. تست رفت و برگشتی فرکانس نیز در کرنش ثابت ۰/۵ درصد در محدوده فرکانس ۱۰۰/۰ هرتز انجام شد. برای بررسی بیشتر رفتار رئولوژیکی در همان محدوده آزمایش رفت و برگشتی فرکانس، مقدار ویسکوزیته کمپلکس^۷ نیز گزارش شد. تمامی موارد ذکر شده در دمای ۵ درجه سلسیوس صورت گرفت.^[۱۰]

۳-۲- تهیه محصول خشک و اولٹوژل با استفاده از خشک کن انجامدی

در این بخش ابتدا به تهیه اولٹوژل با استفاده از خشک کن انجامدی پرداخته به طوریکه شش نمونه امولسیونی مطابق بخش ۲-۲ با غلطت‌های متفاوتی از دو زیست‌پلیمر سدیم کازئینات و زانتان تهیه شد و بلافاصله پس از آماده سازی به مدت ۲۴ ساعت در دمای ۱۸- درجه سلسیوس منجمد شدند و به دنبال آن در حدود ۴۸ ساعت در خشک کن انجامدی (دنا وکیوم مدل FD-5003-BT، ایران) قرار گرفتند؛ در انتهای این مرحله نمونه‌های خشک بدست آمد؛ سپس به منظور تولید اولٹوژل، نمونه‌های خشک با استفاده از میکسر خانگی (مولینکس^۸، فرانسه) به مدت شش ثانیه هموزن شدند تا اولٹوژل‌هایی با بافت یکنواخت به دست آید.^[۲۰]

۳-۲- سفتی بافت محصول خشک شده

نمونه‌های خشک شده، نمونه‌های واسط مهمی برای تهیه اولٹوژل مطلوب هستند، به همین دلیل بررسی خصوصیات بافتی آن‌ها (از جمله سفتی بافت) پارامتر مهمی محسوب می‌شود. بررسی سفتی محصول خشک شده با آزمایش نفوذ مطابق با روش پاتل و همکاران (۲۰۱۴) با تغییر مختصراً با استفاده از دستگاه آنالیز بافت (ستام^۹ مدل SDM1، ایران) انجام شد. به منظور انجام این آزمایش از پرربو استوانه‌ای به قطر ۱۰ میلی متر و سل ۲۰ کیلوگرم با سرعت نفوذ ۱۰۰ میلی متر در دقیقه، استفاده شد و حداقل نیرو به عنوان نیروی نفوذ در عمق ۱۵ میلی متر گزارش شد.^[۱۷]

۳-۲- نشت روغن اولٹوژل‌ها

برای اندازه‌گیری این پارامتر از سانتریفیوژ (سیگما^{۱۰} مدل 6K15، آلمان) استفاده شد. ابتدا میکروتیوب‌های ۲ میلی

۲-۲-۲- سایز قطرات

سایز قطرات روغن در امولسیون‌ها با استفاده از نرم افزار ImageJ اندازه گیری شد. این نرم افزار یک برنامه تجزیه و تحلیل تصویر با سیستم عامل جاوا^{۱۱} می‌باشد که توسط موسسه ملی بهداشت ایالت متحده تهیه شده است. از این نرم افزار برای تشخیص، شمارش و همچنین اندازه گیری سایز قطرات کروی در تصاویر میکروسکوپی استفاده می‌شود. برای آنالیز سایز قطرات تصاویر میکروسکوپی، با استفاده از نوار ابزار تعیین مقیاس^{۱۲} طول استاندارد برای نرم افزار تعریف شد. سپس تصاویر میکروسکوپی نمونه‌های امولسیونی به فرمت ۸ بایتی تبدیل شد و برای شناسایی قطرات توسط نرم افزار تصاویر به صورت سیاه و سفید درآمدند. بعد از مراحل ذکر شده با استفاده از گزینه‌ی "تحلیل ذرات"^{۱۳} سایز قطرات مشخص شد.^[۵]

۳-۲-۲- پتانسیل زتا

برای اندازه گیری پتانسیل زتا امولسیون‌ها از دستگاه زتا سایزر(هوریبا، مدل SZ100، ژاپن) استفاده شد. ابتدا مقداری از نمونه‌ها در لوله‌های آزمایش با آب دیونیزه رقيق شد به طوریکه محلول هر نمونه رنگ نسبتاً شفافی پیدا کرد؛ سپس قبل از قرائت دستگاه، لوله‌ها به خوبی تکان داده شد تا مخلوط یکنواختی بدست آمد. پتانسیل زتا نمونه‌های امولسیونی پس از آماده سازی نمونه‌ها در دمای ۲۵ درجه سلسیوس اندازه گیری و میانگین سه قرائت گزارش شد.^[۱۷]

۴-۲- رئولوژی

برای اندازه گیری خصوصیات رئولوژیکی از دستگاه رئومتر (آنتون پار^{۱۴} مدل MCR 301، اتریش) مجهز به سیستم کترل دما استفاده شد. اندازه گیری خصوصیات رئولوژیکی مدول الاستیک یا ذخیره (G') و مدول ویسکوز یا اتلافی (G'') با پرربو صفحه‌ای موازی به قطر ۵۰ میلی‌متر انجام شد. حدود ۵ گرم امولسیون درون ظرف دستگاه ریخته شده و فاصله پرربو با نمونه ۱ میلی‌متر تنظیم شد. برای اندازه گیری ناحیه ویسکوالاستیک خطی آزمایش تنش برشی^{۱۵} در طیف وسیعی از دامنه کرنش^{۱۶} ۰-۱۰۰ درصد تحت

1. Java

2. Set scale

3. Analyze particle

4. Anton paar

5. Shear stress

6. Strain

7. Complex viscosity

8. Moulinex

9. Santam

10. Sigma

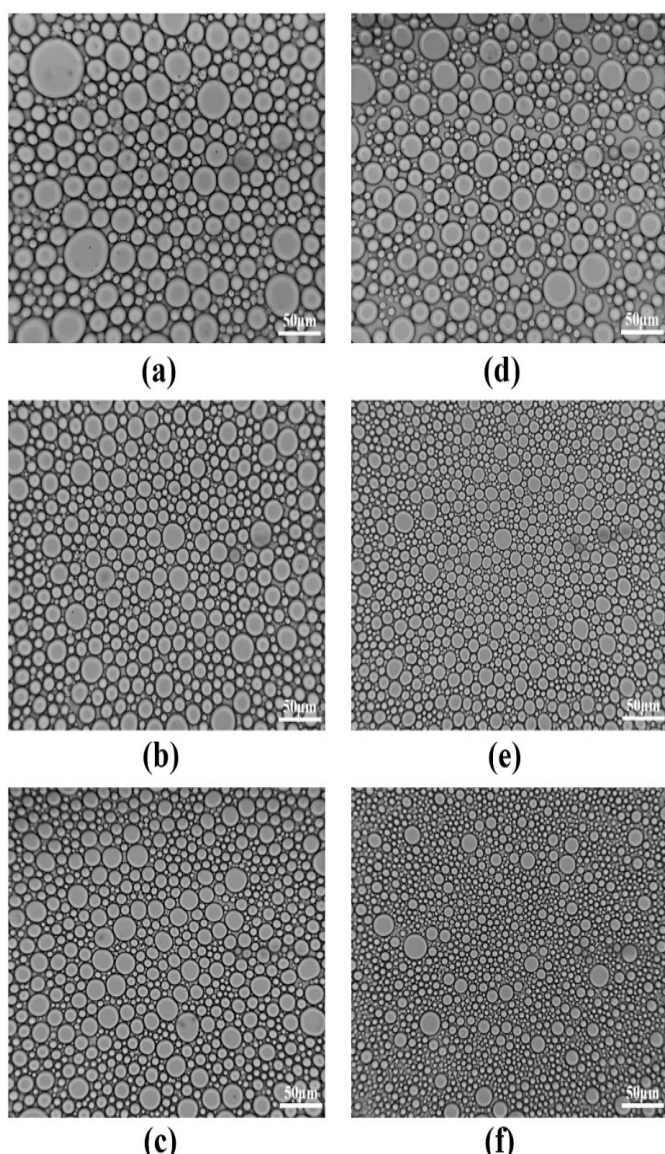


Fig 1 Optical microscopic images of emulsions prepared by different concentrations of sodium caseinate and xanthan gum: **a)** C2: sodium caseinate 2 wt% **b)** CX22: sodium caseinate 2-xanthan 0.2 wt% **c)** CX24: sodium caseinate 2-xanthan 0.4 wt% **d)** C4: sodium caseinate 4 wt% **e)** CX42: sodium caseinate 4-xanthan 0.2 wt% **f)** CX44: sodium caseinate 4-xanthan 0.4 wt%.

همانطور که از جدول مشخص است، سایز قطرات در محدوده ۱۳-۲۴ میکرون گزارش شد که بیشترین و کمترین اندازه‌ی قطرات روغن به ترتیب در نمونه‌های C2 (۰٪ سدیم کازئینات) و CX44 (۴٪ سدیم کازئینات و ۰٪ صمغ زاتنان) مشاهده شد. اثر سدیم کازئینات به تنها بر سایز قطرات روغن معنا دار گزارش شد ($p < 0.05$)؛ با این حال

لیتری خالی را وزن کرده و حدود ۱ تا ۱/۵ گرم نمونه اولوژل در آنها توزین شد و در ۱۰۰۰۰ دور در دقیقه در دمای اتاق (۲۵ درجه‌ی سلسیوس) به مدت ۱۵ دقیقه سانتریفیوژ شد، سپس روغن اضافی سطح میکروتیوب‌ها کاملاً درون ظرفی ریخته شد و مجدداً میکروتیوب‌ها وزن شدند. درصد نشت روغن از معادله زیر به دست آمد.

(1)

$$\text{درصد نشت روغن} = \frac{[(m_1 - m_0) - (m_2 - m_0)]}{(m_1 - m_0)} \times 100$$

در معادله فوق m_0 و m_2 به ترتیب جرم میکروتیوب‌های خالی، جرم میکروتیوب‌های پر شده با اولوژل قبل از سانتریفیوژ و جرم اولوژل به همراه میکروتیوب‌ها پس از سانتریفیوژ است [۱۰].

۴-۲- تجزیه و تحلیل آماری داده‌ها

تمامی آزمایش‌ها حداقل با دو تکرار^۱ به صورت فاکتوریل در قالب طرح کاملاً تصادفی انجام شد و داده‌ها به صورت میانگین \pm انحراف معیار^۲ گزارش شدند. تجزیه و تحلیل داده‌ها با آنالیز واریانس^۳ (ANOVA) و آزمون مقایسه میانگین نیز به روش حداقل تفاوت معنادار^۴ (LSD) در سطح اطمینان ۹۵ درصد با استفاده از نرم افزار تحلیل آماری^۵ انجام گرفت.

۳- نتایج و بحث

۳-۱- ریزساختار و سایز قطرات

تصاویر میکروسکوپی نمونه‌های امولسیون در شکل ۱ نشان داده شده است. آنچه که در این تصاویر قابل مشاهده است، این است که به دلیل غلظت زیاد روغن در امولسیون (۶۰ درصد وزنی / وزنی)، تراکم و تعداد قطرات روغن در نمونه‌ها زیاد می‌باشد. همچنین ریزساختار نشان می‌دهد که با افزایش غلظت زیست پلیمرها اندازه قطرات کوچکتر شده است.

مقادیر سایز قطرات روغن (با توجه به اینکه از عوامل مهم در پابداری امولسیون‌ها محسوب می‌شود) در جدول ۲ گزارش شده است.

-
1. Replication
 2. Standard deviation
 3. Analysis of variance
 4. The least significant difference
 5. Statistix

بیان می شود، در واقع پتانسیل زتا بهترین شاخص برای تعیین وضعیت الکتریکی سطحی دیسپرسیون هاست. در سیستم های امولسیونی، این اختلاف پتانسیل ناشی از بار سطحی قطرات و بخصوص ترکیب فعال سطحی (مثل زیست پلیمرها) می باشد. به طوریکه اگر مقادیر پتانسیل زتا کمتر از -30 میلی ولت و بیشتر از $+30$ میلی ولت باشد، امولسیون نسبت به جدایی فاز پایدار است[۱۲]. با توجه به جدول ۲، پتانسیل زتا نمونه های امولسیونی بین $-58/73$ و $-87/30$ بود که بسیار کمتر از -30 میلی ولت است. به دلیل تاثیر گروه های آمینی و کربوکسیلی موجود در ساختار سدیم کازئینات، نقطه ایزو الکتریک این پروتئین در محدوده $4/5-5$ است و از آنجایی که pH امولسیون حدود $6/2$ بود (بالاتر از نقطه ایزو الکتریک سدیم کازئینات است)، سطح پروتئین دارای بار منفی می باشد[۸]. با این حال همه مقدار منفی پتانسیل زتا به تنها یابسته به سدیم کازئینات نیست به طوریکه پاتل و همکاران (۲۰۱۴) بیان کردند که صمغ زانتان یک زیست پلیمر آنیونی است، چرا که با یونیزه شدن گروه های پیروات و گلوکورونیک موجود در زنجیره جانبی تری ساکاریدی آن، بار منفی در سطح این مولکول ایجاد می شود[۱۷]. اثر سدیم کازئینات و زانتان به تنها ی و همچنین اثر متقابل آنها بر پتانسیل زتا نمونه های امولسیونی معنادار بود، به طوریکه با افزایش غلظت سدیم کازئینات از 2 به 4 درصد وزنی، مقادیر پتانسیل زتا افزایش یافت و همین اتفاق در مورد افزایش غلظت صمغ زانتان و نسبت های مختلف این دو زیست پلیمر در تهیه امولسیون ها نیز مشاهده شد. چیرو و همکاران (۲۰۱۵) برای تهیه امولسیون از پلی ساکارید محلول دانه هی سویا و صمغ گوار به عنوان تغییض کننده استفاده کردند؛ آنها مشاهده کردند با افزایش غلظت صمغ گوار، پتانسیل زتا افزایش یافت که این نتیجه در اثر فشرده تر شدن ساختار امولسیفاير در سطح قطرات روغن بود؛ در ادامه برای بررسی اثر نوع تغییض کننده بر پتانسیل زتا از صمغ زانتان نیز استفاده کردند به طوریکه افزایش غلظت آن باعث کاهش مقادیر پتانسیل زتا شد که می تواند به دلیل تغییر در ساختار شیمیایی تغییض کننده باشد[۳].

اثر زانتان به تنها ی و همچنین اثر متقابل دو زیست پلیمر بر سایز قطرات روغن معنادار نبود ($p > 0/05$). همانطور که انتظار می رفت با افزایش غلظت سدیم کازئینات از 2 به 4 درصد وزنی -وزنی، اندازه قطرات به میزان قابل توجهی کاهش یافت ($p < 0/05$ ، چراکه این پروتئین می تواند به عنوان یک امولسیفاير قوی در سطح آب و روغن قرار گرفته و کشش سطحی را کاهش دهد[۶]. همچنین، سدیم کازئینات می تواند بین قطرات روغن نیروی دافع الکترواستاتیک و استریک ایجاد کرده، که مانع نزدیک شدن قطرات به یکدیگر می شود[۸]. مطابق قانون استوک، هرچه قطرات روغن کوچکتر باشند، امولسیون حاصل پایداری بیشتری دارد زیرا قطرات کوچک در فاز پیوسته بهتر پراکنده شده و سرعت نزدیک شدن آنها به یکدیگر کمتر می شود و در نتیجه شکل گیری قطرات بزرگ تر یا به عبارتی پدیدهی الحق دیرتر رخ می دهد [۱۲]. عدم معناداری در تغییر اندازه قطرات روغن با افزایش غلظت صمغ زانتان به این دلیل است که این پلی ساکارید فعال سطحی نبوده و به عنوان تغییض کننده عمل می کند که اهمیت زیادی در پایداری امولسیون دارد؛ به طوریکه در غلظت های بیشتری از صمغ زانتان، فضای بیشتری بین قطرات روغن اشغال شده و ویسکوزیتهی فاز آبی افزایش می باید که باعث محدودیت حرکت قطرات روغن و عدم الحق می شود[۱۰ و ۱۷].

در مطالعه پاتل و همکاران (۲۰۱۵)، افزایش غلظت ژلاتین از $۰/۶$ به $۱/۶$ درصد وزنی -وزنی منجر به کاهش اندازه قطرات روغن شد(۱۷). طبق پژوهش منگ و همکاران (۲۰۱۸) کاهش HPMC اندازه قطرات روغن در امولسیون، با افزایش غلظت HPMC مشاهده شد، زیرا غلظت های بالای این امولسیفاير باعث تشکیل چند لایه در اطراف قطرات روغن شده که این لایه ویسکوالاستیک باعث ایجاد پایداری بهتر امولسیون می شود[۱۰].

۲-۳- پتانسیل زتا

در سیستم های کلوریدی بویزه امولسیون ها، اختلاف پتانسیل بین ذرات بار دار و فاز پیوسته با شاخصی به نام پتانسیل زتا

Table 2 Droplet size and zeta potential of emulsion samples.

Samples	Emulsions	
	Droplet Size (μm)	ζ -potential (mV)
C2	24.11 \pm 0.14 ^a	-86.30 \pm 1.9 ^c
CX22	21.67 \pm 0.80 ^{ab}	-80.63 \pm 2.2 ^d
CX24	19.50 \pm 3.28 ^{ab}	-75.56 \pm 1.5 ^c
C4	14.82 \pm 3.32 ^{bc}	-58.73 \pm 1.0 ^a
CX42	14.37 \pm 1.72 ^{bc}	-73.50 \pm 2.6 ^c
CX44	13.75 \pm 1.12 ^c	-69.76 \pm 2.0 ^b

Various letters in each column show significant differences among mean values ($p<0.05$).

C2: sodium caseinate 2 wt%, CX22: sodium caseinate 2-xanthan 0.2 wt%, CX24: sodium caseinate 2-xanthan 0.4 wt%, C4: sodium caseinate 4 wt%, CX42: sodium caseinate 4-xanthan 0.2 wt%, CX44: sodium caseinate 4-xanthan 0.4 wt%.

مقادیر مدول ذخیره و اتلافی است و درصد کرنش در این نقطه به عنوان کرنش تسلیم^۳ بیان می‌شود و از نقطه‌ی تلاقي به بعد مقادیر مدول اتلافی بیشتر از مدول ذخیره می‌شود که نشان دهنده‌ی غالب شدن رفتار ویسکوز بر رفتار الاستیک بوده و پس از این رفتار شبه جامد در نمونه‌ها دیده نمی‌شود. هر چه تلاقي دو نمودار در کرنش های بالاتر رخ دهد، بیانگر پایداری بهتر ماده در برابر تغییر شکل است؛ به همین ترتیب، با توجه به شکل ۲ (الف)، از محدوده‌ی کرنش ۲۰ تا ۱۰۰ درصد، تمامی نمودارهای مدول ذخیره روند نزولی داشته و کرنش تسلیم در نقطه‌ی برابری مدول ذخیره و اتلافی، با افزایش غلظت سدیم کازئینات، صمغ زانتان و مجموع غلظت کل دو زیست پلیمر نیز افزایش یافت؛ به طوریکه این نقطه در دو نمونه CX42 و CX44 (با بیشترین مجموع غلظت زیست پلیمرها) دیده نشد، که نشان دهنده‌ی افزایش قدرت مکانیکی ژل با افزایش غلظت است. پدیده‌ی مشابه توسط لو و همکاران^(۲۰۱۹) مشاهده شد؛ آن‌ها نتیجه گرفتند که هرچه از غلظت‌های بیشتر پکتین مرکبات استفاده شود، ساختار قوی‌تری از امولسیون تشکیل می‌شود، به طوریکه برابری مدول ذخیره و اتلافی در کرنش تسلیم بالاتر رخ داد^[۷]. پاتل و همکاران^(۲۰۱۵) نیز نشان دادند که با افزایش غلظت ترکیب صمغ دانه‌ی خربوب و کاراگینان نه تنها^G در امولسیون‌ها افزایش یافت بلکه در کرنش تسلیم نیز افزایش مشاهده شد^[۱۶].

۳-۳- رئولوژی

خصوصیات رئولوژیکی امولسیون‌ها به منظور بررسی اثر غلظت سدیم کازئینات و صمغ زانتان بر روی این ویژگی مورد بررسی قرار گرفت. هر شش نمونه امولسیونی طی آزمون تنش برشی در دامنه وسیعی از کرنش، رفتار شبه جامد را با توجه به بالاتر بودن مدول ذخیره^(G): نشان دهنده الاستیک بودن سیستم) از مدول اتلافی^(G): نشان دهنده رفتار ویسکوز است، در ناحیه ویسکوالاستیک خطی نشان دادند؛ به این معناکه رفتار الاستیک در امولسیون نسبت به رفتار ویسکوز غالب بوده که تاییدی بر رفتار شبه جامد امولسیون است (شکل ۲ الف و ب). افزایش در غلظت سدیم کازئینات، غلظت صمغ زانتان و مجموع غلظت کل زیست پلیمرها، موجب افزایش مدول ذخیره شد؛ به طوریکه مدول ذخیره برای نمونه با کمترین مجموع غلظت زیست پلیمر (C2) $10^2 \times 1/54$ پاسکال و برای امولسیون با بیشترین مجموع غلظت زیست پلیمر (CX44) $10^3 \times 3/60$ پاسکال در کرنش ۰/۰۵ درصد، بودکه نشان دهنده‌ی اثر قوی غلظت زیست پلیمر بر پایداری امولسیون‌ها در برابر تغییر شکل^۱ است؛ همچنین افزایش غلظت زیست پلیمرها باعث می‌شود تا قدرت ژل افزایش یابد [۱۶]. با افزایش در تنش، مقاومت ماده در برابر تغییر شکل کمتر شده به طوریکه نمودار مدول ذخیره دیگر خطی نبوده و روند نزولی یافته تا جایی که به نمودار مدول اتلافی برخورد می‌کند؛ محل تلاقي دو نمودار^۳ نشان دهنده‌ی برابر شدن

1. Deformation

2. Cross over point

(طی افزایش قدرت مکانیکی ژل با افزایش غلظت) قابل توجیه است؛ چراکه با افزایش غلظت زیست پلیمرها، قطرات رونگ توسط میزان بیشتری از امولسیفایر و تغليظ کننده احاطه شده و حرکت آنها محدود می شود. علاوه بر این، افزایش غلظت صمع زانتان سبب افزایش ویسکوزیته فاز پیوسته و تشکیل شبکه قوی تر و رفتار شبه جامد در امولسیون می شود [۱۰]. پاتل و همکاران (۲۰۱۵) مشاهده کردند که در امولسیون های ژلاتین-زانتان، بیشترین میزان مدول ذخیره مربوط به نمونه حاوی افزایش شبی منحنی مدول ذخیره بود، همچنین افزایش شبی منحنی مدول ذخیره حین افزایش فرکانس دیده شد که نشان دهنده وابستگی مدول ذخیره به فرکانس و ضعیف بودن ژل تولیدی است [۱۷].

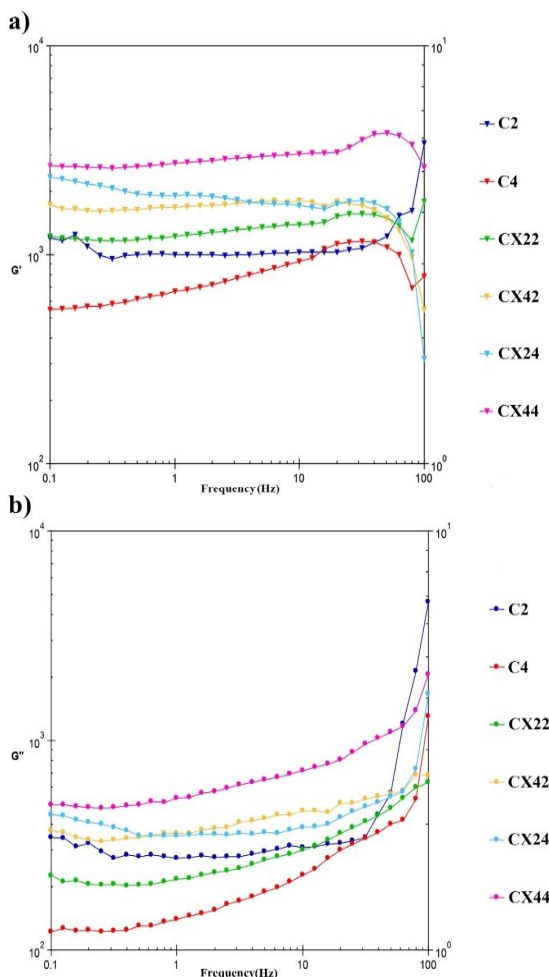


Fig 3. Frequency sweep (a, b) curves of emulsions prepared by different concentrations of sodium caseinate and xanthan gum. C2: sodium caseinate 2 wt%, CX22: sodium caseinate 2-xanthan 0.2 wt%, CX24: sodium caseinate 2-xanthan 0.4 wt%, C4: sodium caseinate 4 wt%, CX42: sodium caseinate 4-xanthan 0.2 wt%, CX44: sodium caseinate 4-xanthan 0.4 wt%.

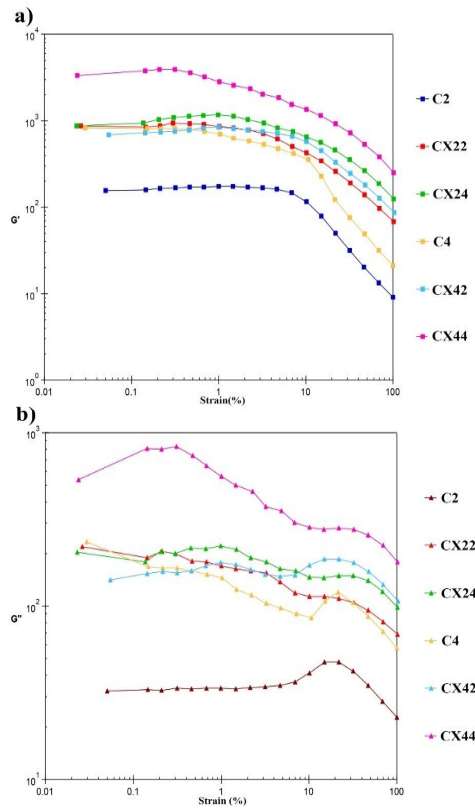


Fig 2 Amplitude sweep (a, b) curves of emulsions prepared by different concentrations of sodium caseinate and xanthan gum. C2: sodium caseinate 2 wt%, CX22: sodium caseinate 2-xanthan 0.2 wt%, CX24: sodium caseinate 2-xanthan 0.4 wt%, C4: sodium caseinate 4 wt%, CX42: sodium caseinate 4-xanthan 0.2 wt%, CX44: sodium caseinate 4-xanthan 0.4 wt%.

به منظور بررسی بیشتر قدرت ژل در امولسیون، آزمون فرکانس رفت و برگشتی در دامنه فرکانس $100 - 0.1$ هرتز انجام شد؛ تمامی شش نمونه امولسیونی مقاومت مکانیکی خوبی نسبت به فرکانس نشان دادند (شکل ۳ الف و ب)؛ چراکه در تمام دامنه فرکانس، نه تنها $G' >> G''$ بود، بلکه نمودار G' و G'' نیز تقریبا خطی است که عدم وابستگی G' و G'' به فرکانس را نشان می دهد و بیانگر خصوصیات شبه جامد امولسیون است؛ به طوریکه نمونه حاوی ۴ سدیم کازئینات و ۰/۴٪ صمع زانتان (CX44) بیشترین مقدار مدول ذخیره را در فرکانس 100 هرتز به خود اختصاص داد (2.62×10^3 پاسکال). اثر افزایش غلظت سدیم کازئینات یا صمع زانتان و حتی مجموع غلظت زیست پلیمرهای کاربردی در آزمون فرکانس، با نتایج حاصل از آزمون نوسان رفت و برگشتی

غلظت زیست‌پلیمر سدیم کازئینات و یا صمغ زاندان، در افزایش سفتی بافت محصول خشک شده، قابل پیش بینی بود چراکه افزایش مقدار امولسیفایر باعث تشکیل لایه‌ای قوی تر و با ضخامت بیشتر در اطراف قطرات روغن شده که حرکت آنها را محدود می‌کند. همچنین افزایش ویسکوزیته فاز پیوسته در اثر افزایش غلظت صمغ زاندان، همانند اثر امولسیفایر، باعث محدود شدن حرکت قطرات روغن و تشکیل شبکه قوی‌تری در فازآبی (پیوسته) امولسیون می‌شود که در پایداری این شبکه قوی حین فرآیند خشک شدن موثر است. همانطورکه در جدول ۳ مشاهده می‌شود، با افزایش غلظت سدیم کازئینات، سفتی بافت افزایش یافته به طوریکه در غلظت ۲٪ سفتی بافت $77/0$ نیوتون و در غلظت ۴٪ سدیم ۶/۲۶ نیوتون بدست آمد؛ در واقع با افزایش غلظت زیست‌پلیمرها، شبکه‌ی فشرده‌تری شکل گرفته که نسبت به تنش‌های خارجی (مانند اثر نیرو بر بافت محصول) مقاوم‌تر است؛ بنابراین انتظار می‌رفت محصولات خشک با غلظت‌های بیشتر دو زیست‌پلیمر، بافت سفت‌تری داشته باشند به طوریکه نمونه‌ی CX44 نسبت به سایر نمونه‌ها سفت‌تر بود. این نتایج با نتایج حاصل از کلیه آزمون‌های انجام شده بر نمونه‌های امولسیونی نیز مطابقت دارد. اثر مشابه غلظت زیست‌پلیمر بر مقدار سفتی محصول خشک شده توسط لو و همکاران (۲۰۱۹) در تهیه اولنوژل بر پایه‌ی سیستم امولسیونی با استفاده از خشک کن انجمادی، نیز مشاهده شد. آنها نشان دادند که سفتی محصولات خشک شده با افزایش غلظت پکتین مرکبات از ۱/۵ به ۴/۵ درصد وزنی-حجمی حدود دو برابر افزایش یافت [۷]. در پژوهش مشابه برای تولید اولنوژل به روش تشكیل امولسیون، منگ و همکاران (۲۰۱۸) نشان دادند، با افزایش غلظت HPMC از $0/2$ به ۱ درصد وزنی، سفتی محصول خشک (حاصل از خشک کن انجمادی) $2/5$ برابر بیشتر شد. هر چه ساختار محصول خشک شده فشرده تر باشد، بافت آن نسبت به نیرو مقاوم تر بوده و محصول در برابر سایر تنش‌های محیطی که ممکن است حین انبارداری یا حمل و نقل رخ دهد، پایدارتر است [۱۰].

۵-۳- نشت روغن اولنوژل‌ها

پارامتر مهمی که توانایی ساختار اولنوژل در نگهداری روغن را نشان می‌دهد، "درصد نشت روغن" است. اثر سدیم کازئینات و زاندان به تهایی و همچنین اثر متقابل آنها بر این پارامتر

در بررسی ویسکوزیته‌ی کمپلکس^(*) : نسبت مدول کمپلکس^(۱) به بسامد زاویه‌ای طی آزمون فرکانس(شکل ۴)، با افزایش غلظت هر دو زیست‌پلیمر و مجموع غلظت کل آنها، این پارامتر نیز افزایش یافت، که می‌توان آن را به تأثیر غلظت زیست‌پلیمرها روی مقاوت مکانیکی امولسیون (با توجه به اینکه افزایش G' ، با افزایش غلظت هر یک از زیست‌پلیمرها و مجموع غلظت کل آنها، طی آزمون نوسان رفت و برگشتی و آزمون فرکانس مشاهده شد)، نسبت داد. علاوه بر این، یک رابطه معکوس نیز بین فرکانس و ویسکوزیته‌ی کمپلکس^(۲) نمونه‌ها مشاهده شد؛ چرا که عدم واپسگی هر یک از مدول ذخیره و اتلافی به فرکانس، سبب ثابت بودن مدول کمپلکس^(۳) ($G'^2 + G''^2$) می‌شود [۱۹] که با افزایش فرکانس، تنها بسامد زاویه‌ای افزایش یافته و با توجه به نسبت عکس ویسکوزیته کمپلکس و بسامد زاویه‌ای، این پارامتر کاهش می‌یابد [۱۴].

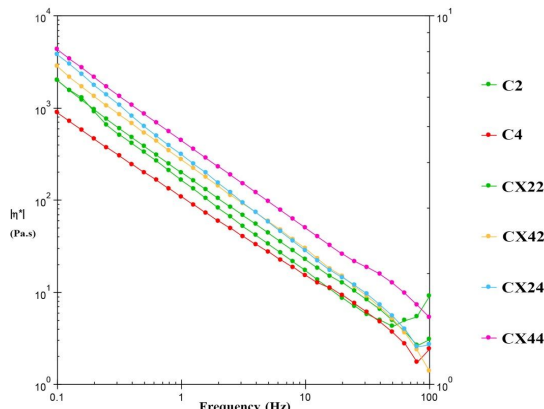


Fig 4 Complex viscosity curves of emulsions under applying frequency.

C2: sodium caseinate 2 wt%, CX22: sodium caseinate 2-xanthan 0.2 wt%, CX24: sodium caseinate 2-xanthan 0.4 wt%, C4: sodium caseinate 4 wt%, CX42: sodium caseinate 4-xanthan 0.2 wt%, CX44: sodium caseinate 4-xanthan 0.4 wt%.

۴-۳- سفتی بافت محصول خشک شده

به منظور بررسی اثر غلظت‌های مختلف زیست‌پلیمرها بر خصوصیات بافتی محصول، سفتی محصولات خشک شده حاصل از خشک کن انجمادی بررسی شد. اثر سدیم کازئینات و زاندان به تهایی بر سفتی بافت محصول خشک شده معنادار بود اما در اثر متقابل آنها تفاوت معناداری مشاهده نشد. با توجه به بررسی خواص رئولوژیکی امولسیون، اثر افزایش

شبکه‌ی پایدارتر نیز مهم است به طوریکه با افزایش غلظت زیست‌پلیمرها و افزایش تشکیل پیوندهای کووالانسی و الکترواستاتیک در سطح مشترک آب و روغن، سبب تشکیل شبکه قوی‌تری از زیست‌پلیمرها اطراف قطرات روغن حین تهیه امولسیون می‌شود که پس از خروج آب از سیستم، سبب ثبات بهتر اولنوژل در برابر نیروهای خارجی و سخت‌تر خارج شدن روغن از شبکه‌ی سه بعدی اولنوژل و پدیدار شدن رفتار شبیه جامد می‌شود. منگ و همکاران (۲۰۱۸) در مطالعه‌ای بر تشکیل اولنوژل بر پایه‌ی سیستم امولسیونی، بیان کردند که افزایش غلظت HPMC، باعث افزایش میزان نگهداری روغن در ساختار اولنوژل شد به طوریکه بیشترین نشت روغن در اولنوژل با حداقل غلظت HPMC (۰/۲ درصد وزنی)، حدود ۱۸ درصد گزارش شد درحالیکه نشت روغن در اولنوژل با ۱ درصد وزنی HPMC حدود ۸ درصد بود [۱۰]. در مطالعه‌ی دیگری از منگ و همکاران (۲۰۱۸)، اثر ویسکوزیته‌های مختلف HPMC و MC بر میزان نشت روغن مورد بررسی قرار گرفت. آن‌ها نتیجه گرفتند که اولنوژلهای حاصل از ویسکوزیته‌های بیشتر HPMC و MC، توانایی بیشتری در نگهداری روغن داشتند چرا که با افزایش ویسکوزیته فاز پیوسته، حرکت قطرات روغن محدود شده و پدیده‌ی الحاق در امولسیون و سپس اولنوژل تولیدی رخ نداد [۱۱].

معنadar بود($p < 0.05$), به طوریکه با افزایش غلظت امولسیفایر، صمغ زانتان و همچنین با افزایش مجموع غلظت کل زیست‌پلیمرها مورد استفاده، میزان نشت روغن در اولنوژل کاهش یافت. با توجه به نتایج رئولوژی امولسیون‌ها و مشاهده‌ی بهتر شدن رفتار شبیه جامد با افزایش غلظت زیست‌پلیمرها، انتظار می‌رفت تا کمترین نشت روغن نیز در نمونه‌ی حاوی بیشترین غلظت از زیست‌پلیمرها مشاهده شود. همانطورکه در جدول ۳ مشاهده می‌شود، کمترین میزان نشت روغن به اولنوژل با بیشترین مجموع غلظت زیست‌پلیمرها اختصاص دارد به طوریکه در نمونه CX44 نشت روغن ۰/۱۶۲ درصد بود. در واقع افزایش غلظت زیست‌پلیمرها نه تنها باعث افزایش ویسکوزیته‌ی فاز پیوسته شده بلکه از الحاق قطرات حین تشکیل امولسیون و فرآیند خشک کردن جلوگیری کرده که باعث کاهش نشت روغن می‌شود: از طرفی ترکیب دو ماده‌ی فعال سطحی (امولسیفایر) و غیر فعال سطحی (تغليظ کننده) به ویژه پروتئین و پلی‌ساکارید، در سطح مشترک روغن و آب حین تشکیل امولسیون، می‌تواند از طریق پیوندهای کووالانسی و یا الکترواستاتیک رخ دهد که سبب شکل گیری سیستم پایدارتری نسبت به تهیه امولسیون تنها با استفاده از امولسیفایر، می‌شود. از طرفی علاوه بر اثر ترکیب زیست‌پلیمرها بر پایداری امولسیون و متعاقباً ثبات اولنوژلهای تولیدی، انتخاب غلظت موثر از زیست‌پلیمرها در رسیدن به

Table 3 The hardness of freeze-dried (FD) products and oil loss of related oleogels.

Samples	FD-Products	FD-Oleogels
	Hardness (N)	Oil Loss (%)
C2	0.77±0.02 ^c	31.347±1.08 ^a
CX22	6.45±1.04 ^b	19.018±5.29 ^b
CX24	9.04±0.66 ^b	6.939±3.81 ^d
C4	6.26±0.11 ^{bc}	9.671±1.15 ^c
CX42	11.49±0.06 ^b	1.651±0.50 ^{de}
CX44	18.22±5.51 ^a	0.162±0.05 ^e

Various letters in each column show significant differences among mean values ($p < 0.05$).

C2: sodium caseinate 2 wt%, CX22: sodium caseinate 2-xanthan 0.2 wt%, CX24: sodium caseinate 2-xanthan 0.4 wt%, C4: sodium caseinate 4 wt%, CX42: sodium caseinate 4-xanthan 0.2 wt%, CX44: sodium caseinate 4-xanthan 0.4 wt%.

ویژگی‌های امولسیون می‌توان به قابلیت یا عدم قابلیت تولید اولنوژل بر پایه‌ی سیستم امولسیونی دست یافت. همچنین عدم حرارت دهنده و استفاده از زیست‌پلیمرهای متنوع در تهیه امولسیون و به دنبال آن تولید اولنوژل از بخش‌های قابل توجه سیستم امولسیونی است. بر اساس نتایج حاصل، افزایش غلظت سدیم کازئینات باعث کاهش معنا دار اندازه قطرات روغن شد

۴- نتیجه گیری

در این تحقیق از زیست‌پلیمرهای آبدوست سدیم کازئینات و صمغ زانتان برای تولید امولسیون‌های پایدار به منظور بررسی قابلیت تولید اولنوژل، استفاده شد. اهمیت این روش نه تنها در سادگی و کوتاه بودن مراحل تولید است بلکه با بررسی

- [2] Abdolmaleki, K., Alizadeh, L., Nayebzadeh, K., Hosseini, S. M. and Shahin, R. 2019. Oleogel production based on binary and ternary mixtures of sodium caseinate, xanthan gum, and guar gum: Optimization of hydrocolloids concentration and drying method. *Journal Of Texture Studies*. 2: 290–299.
- [3] Chivero, P., Gohtani, S., Yoshii, H. and Nakamura, A. 2015. Effect of xanthan and guar gums on the formation and stability of soy soluble polysaccharide oil-in-water emulsions. *Food Research International*. 70: 7-14.
- [4] Co, E. D. and Marangoni, A. G. 2018. Oleogels: An Introduction. In: *Edible Oleogels*. Elsevier. pp. 1-29.
- [5] Gering, E. and Atkinson, C. T. 2004. A rapid method for counting nucleated erythrocytes on stained blood smears by digital image analysis. *Journal Of Parasitology*. 90: 879-882.
- [6] Jiang, Y., Liu, L., Wang, B., Sui, X., Zhong, Y., Zhang, L., Mao, Z. and Xu, H. 2018. Cellulose-rich oleogels prepared with an emulsion-templated approach. *Food Hydrocolloid*. 77: 460-464.
- [7] Luo, S.-Z., Hu, X.-F., Jia, Y.-J., Pan, L.-H., Zheng, Z., Zhao, Y.-Y., Mu, D.-D., Zhong, X.-Y. and Jiang, S.-T. 2019. Camellia oil-based oleogels structuring with tea polyphenol-palmitate particles and citrus pectin by emulsion-templated method: Preparation, characterization and potential application. *Food Hydrocolloid*. 95: 76-87.
- [8] Ma, H., Forssell, P., Partanen, R., Seppanen, R., Buchert, J. and Boer, H. 2009. Sodium caseinates with an altered isoelectric point as emulsifiers in oil/water systems. *Journal Of Agricultural And Food Chemistry*. 57: 3800-3807.
- [9] Meng, Z., Qi, K., Guo, Y., Wang, Y. and Liu, Y. 2018. Effects of thickening agents on the formation and properties of edible oleogels based on hydroxypropyl methyl cellulose. *Food Chemistry*. 246: 137-149.
- [10] Meng, Z., Qi, K., Guo, Y., Wang, Y. and Liu, Y. 2018. Macro-micro structure characterization and molecular properties of emulsion-templated polysaccharide oleogels. *Food Hydrocolloid*. 77: 17-29.
- [11] Meng, Z., Qi, K., Guo, Y., Wang, Y. and Liu, Y. 2018. Physical Properties, Microstructure, Intermolecular Forces, and Oxidation Stability of Soybean Oil Oleogels

به طوریکه اندازه قطرات روغن در نمونه های C2 و C4 به ترتیب ۲۴/۱۱ و ۱۴/۸۲ بود درحالیکه اثر غلظت زانتان بر اندازه قطرات معنادار نبود با این حال اثر آن بر پتانسیل زتا معنادار گزارش شد به طوریکه مقادیر آن بین ۸۶/۳ - ۵۸/۷۳ گزارش شد که بیانگر پایداری بالای امولسیون ها نسبت به پدیده های الحق است. نتایج حاصل از آزمون رئولوژیکی در همه نمونه ها بیشتر بودن مدول ذخیره را نسبت به مدول اتلافی نشان داد که بیانگر تشکیل ژل قوی در نمونه های امولسیونی بود که تاکیدی بر قابلیت تولید اولنوژل با بافت مطلوب می باشد. در ادامه پس از تهیه محصول خشک و اولنوژل با استفاده از خشک کن انجامدی و مطالعه های خصوصیات آنها، نتایج حاصل از بررسی سفتی بافت نمونه های خشک شده و نشت روغن در اولنوژل های مربوطه اثر غلظت دو زیست پلیمر را معنادار نشان داد، به طوریکه با افزایش غلظت سفتی بافت افزایش و نشت روغن کاهش یافت. به طور کلی می توان گفت (الف) غلظت های بیشتر از سدیم کازئینات منجر به تشکیل لایه ای ضخیم تر در اطراف قطرات روغن و عدم الحق حین تشکیل امولسیون و در ادامه طی فرآیند تولید اولنوژل می شود، (ب) با افزایش غلظت تعییط کننده یک شبکه قوی تر در فاز پیوسته امولسیون ایجاد شده که باعث تشکیل ژل قوی تر در نمونه های امولسیونی و در ادامه در اولنوژل می شود (ج) استفاده از مقادیر بیشتر امولسیفایر و تعییط کننده که در واقع افزایش مجموع غلظت زیست پلیمر های کاربردی است، منجر به تشکیل شبکه ای فشرده تر از زیست پلیمر ها، هم در مرحله ای تشکیل امولسیون و هم در حین تولید اولنوژل شده که در برابر نتش ها پایدار است و می توانند روغن مایع را در ساختار خود به خوبی به دام اندازد. به منظور بررسی های بیشتر در این زمینه توصیه می شود تا از سایر زیست پلیمر ها و روش های خشک کردن امولسیون به منظور تولید اولنوژل استفاده و اثر غلظت زیست پلیمر ها بر ویژگی های فیزیکو شیمیایی اولنوژل مطالعه شود.

۵- منابع

- [1] Abdollahi, M., Goli, S. A. H. and Soltanizadeh, N. 2019. Physicochemical Properties of Foam-Templated Oleogel Based on Gelatin and Xanthan Gum. *European Journal of Lipid Science and Technology*. 1900196.

- [17] Patel, A. R., Rajarethinem, P. S., Cludts, N., Lewille, B., De Vos, W. H., Lesaffer, A. and Dewettinck, K. 2014. Biopolymer-based structuring of liquid oil into soft solids and oleogels using water-continuous emulsions as templates. *Langmuir*. 31: 2065-2073.
- [18] Pehlivanoğlu, H., Demirci, M., Toker, O. S., Konar, N., Karasu, S. and Sagdic, O. 2018. Oleogels, a promising structured oil for decreasing saturated fatty acid concentrations: Production and food-based applications. *Critical Reviews In Food Science And Nutrition*. 58: 1330-1341.
- [19] Shchipunov, Y. A. 2001. Lecithin organogel: a micellar system with unique properties. *Colloids and Surfaces A: Physicochemical And Engineering Aspects*. 183: 541-554.
- [20] Tavernier, I., Patel, A. R., Van der Meeren, P. and Dewettinck, K. 2017. Emulsion-templated liquid oil structuring with soy protein and soy protein: κ -carrageenan complexes. *Food Hydrocolloid*. 65: 107-120.
- Structured by Different Cellulose Ethers. *European Journal Of Lipid Science And Technology*. 120: 1700287.
- [12] Mollakhalili Meybodi, N., Mohammadifar, M. A. and Naseri, A. 2014. Effective factors on the stability of oil-in-water emulsion based beverage: a review. *Journal Of Food Quality And Hazards Control*. 1: 67-71.
- [13] Patel, A. R. 2015. Polymer-Based Oleogels Created Using Indirect Methods. In: *Alternative Routes to Oil Structuring*. Springer. pp. 29-39.
- [14] Patel, A. R., Cludts, N., Bin Sintang, M. D., Lewille, B., Lesaffer, A. and Dewettinck, K. 2014. Polysaccharide-based oleogels prepared with an emulsion-templated approach. *Chemical Physics and Physical Chemistry*. 15: 3435-3439.
- [15] Patel, A. R. and Dewettinck, K. 2016. Edible oil structuring: an overview and recent updates. *Food & Function*. 7: 20-29.
- [16] Patel, A. R., Dumlu, P., Vermeir, L., Lewille, B., Lesaffer, A. and Dewettinck, K. 2015. Rheological characterization of gel-in-oil-in-gel type structured emulsions. *Food Hydrocolloid*. 46: 84-92.

Effect of sodium caseinate and xanthan gum biopolymers concentration on Oleogel production capability based on oil-in-water emulsion system

Moradabbasi, M. ¹, Goli, S. A. ^{2*}, Fayaz, G. ³

1. Master student of Food Science and Technology, Department of Food Science and Technology, College of Agriculture, Isfahan University of Technology, Isfahan, Iran.
2. Associated professor, Department of Food Science and Technology, College of Agriculture, Isfahan University of Technology, Isfahan, Iran.
3. Graduated PhD student, Department of Food Science and Technology, College of Agriculture, Isfahan University of Technology, Isfahan, Iran.

(Received: 2020/03/09 Accepted: 2020/08/22)

Food industry researchers are looking for suitable alternatives for solid fat to reduce the adverse effects of saturated, hydrogenated and trans fats, including a new method called "oleogel". One of the oleogel production approaches is emulsion preparation. Therefore, the purpose of this study was to prepare an oleogel by emulsion production using sodium caseinate (emulsifier) and xanthan gum (thickening agent) biopolymers. To investigate the possibility of producing oleogel in this way, first emulsions with different concentration of sodium caseinate (2% and 4%) and xanthan gum (0.2% and 0.4%) with vegetable oil (60% wt / wt) were prepared then the particle size, zeta potential, microscopic images and rheological properties (viscosity, loss and storage modulus) of the samples were studied. Based on the results, increasing sodium caseinate concentration significantly reduced droplet size but the effect of xanthan gum concentration on the mentioned parameter was insignificant, therefore the droplet size in the CX44 sample reduce to 13.75 microns ($P>0.05$). The results of rheological tests showed that the storage modulus was higher than the loss modulus, indicating strong gel formation for the oleogel production with a desirable texture. Oleogel was then prepared using freeze drier. The results of the hardness of the dried samples and oil loss in the respective oleogels showed a significant effect of the two biopolymers concentration in which with increased biopolymers concentration hardness of dried products improved and the oil loss decreased where the hardness and the oil loss of the sample containing the highest concentration of two biopolymers (CX44) reached to 18.22 N and 0.162%, respectively. Therefore, the emulsion preparation method is a suitable approach for oleogel production with desirable properties for the replacement of high saturated and trans fat products which can guarantee public health.

Keywords: Oleogel, Emulsifier, Thickening agent, Freeze drier, Rheology.

* Corresponding Author E-Mail Address: amirgoli@cc.iut.ac.ir